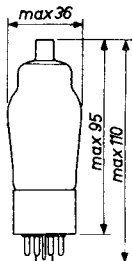
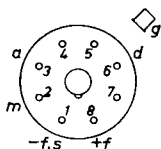
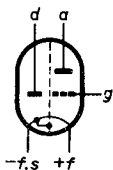


DIODE-TRIODE for use as A.F. amplifier  
 DIODE-TRIODE pour l'utilisation en amplificatrice B.F.  
 DIODE-TRIODE zur Verwendung als N.F.Verstärker

Heating: direct by D.C.; series or parallel supply  
 Chauffage: direct par C.C.; alimentation en série ou en parallèle  
 Heizung: Direkt durch Gleichstrom; Serien- oder Parallelspeisung

|                           |                       |
|---------------------------|-----------------------|
| Parallel supply           | $V_f = 1,4 \text{ V}$ |
| Alimentation en parallèle |                       |
| Parallelspeisung          | $I_f = 25 \text{ mA}$ |
| Series supply             |                       |
| Alimentation en série     | $V_f = 1,3 \text{ V}$ |
| Serienspeisung            |                       |

Dimensions in mm  
 Dimensions en mm  
 Abmessungen in mm



Base, culot, Sockel: Octal

| Capacitances | Triode section            | Diode section          |
|--------------|---------------------------|------------------------|
| Capacités    | Partie triode             | Partie diode           |
| Kapazitäten  | Triodenteil               | Diodeenteil            |
|              | $C_a = 3,3 \text{ pF}$    | $C_d = 2,0 \text{ pF}$ |
|              | $C_g = 1,6 \text{ pF}$    |                        |
|              | $C_{ag} = 1,6 \text{ pF}$ |                        |

Between diode and triode sections  
 Entre les parties diode et triode  
 Zwischen Diode- und Triodenteil

$C_{dg} < 0,0025 \text{ pF}$

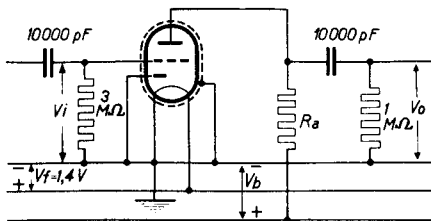
$C_{da} < 0,1 \text{ pF}$

Typical characteristics of the triode section  
 Caractéristiques types de la partie triode  
 Kenndaten des Triodenteiles

|       |   |      |      |            |
|-------|---|------|------|------------|
| $V_a$ | = | 90   | 120  | V          |
| $I_a$ | = | 0,45 | 0,75 | mA         |
| $V_g$ | = | 0    | 0    | V          |
| S     | = | 0,30 | 0,40 | mA/V       |
| $R_i$ | = | 0,13 | 0,10 | M $\Omega$ |
| $\mu$ | = | 40   | 40   |            |

Operating characteristics  
 Caractéristiques d'utilisation  
 Betriebsdaten

| $V_b$<br>(V) | $R_a$<br>(M $\Omega$ ) | $V_g$<br>(V) | $I_a$<br>(mA) | $V_o$<br>( $V_{eff}$ ) | $\frac{V_o}{V_i}$ | $d_{tot}$<br>(%) |
|--------------|------------------------|--------------|---------------|------------------------|-------------------|------------------|
| 120          | 0,5                    | 0            | 0,12          | 3                      | 25                | 0,5              |
| 120          | 0,2                    | 0            | 0,22          | 3                      | 21                | 0,7              |
| 90           | 0,5                    | 0            | 0,08          | 3                      | 23                | 1,0              |
| 90           | 0,2                    | 0            | 0,14          | 3                      | 19                | 1,2              |



Limiting values  
 Caractéristiques limites  
 Grenzdaten

|                       |        |              |             |        |        |
|-----------------------|--------|--------------|-------------|--------|--------|
| $V_a$                 | = max. | 135 V        | $V_{dinvp}$ | = max. | 100 V  |
| $W_a$                 | = max. | 0,1 W        | $I_d$       | = max. | 0,2 mA |
| $I_k$                 | = max. | 3 mA         | $I_{dp}$    | = max. | 1,2 mA |
| $V_g(I_g=+0,3 \mu A)$ | = max. | -0,2 V       | $V_f$       | = min. | 1,1 V  |
| $R_g$                 | = max. | 3 M $\Omega$ | $V_f$       | = max. | 1,5 V  |

**PHILIPS**



*Electronic  
Tube*

**HANDBOOK**

| <b>page</b> | <b>DAC21<br/>sheet</b> | <b>date</b> |
|-------------|------------------------|-------------|
| 1           | 1                      | 1953.04.04  |
| 2           | 2                      | 1953.04.04  |
| 3           | FP                     | 2000.01.21  |